

Informe de la ejecución del deber de Métodos numéricos para EDP

Doctorado Matemáticas Aplicadas

Fausto Fabián Crespo Fernández

Se adaptó el código en Matlab del artículo de Alberty, Carstensen, Funken.
Remarks around 50 lines of Matlab:short finite element implementation.

- i) Para el problema 1 tomamos la función de la parte derecha f para que la solución exacta sea $u(x, y) = \sin(\pi x) \sin(\pi y)$, el dominio es el cuadrado $[0,1] \times [0,1]$ y el sistema EDP es:

$$-\Delta u + u = f \text{ en } [0,1] \times [0,1] = \Omega$$

$$u = 0 \text{ en } \partial\Omega$$

O sea:

$$(2\pi^2 + 1)\sin(\pi x)\sin(\pi y) = f \text{ en } [0,1] \times [0,1] = \Omega.$$

La formulación débil de este problema: Hallar $u \in H_0^1(\Omega)$

$$\int_{\Omega} \nabla u \nabla v \, dx + \int_{\Omega} uv \, dx = \int_{\Omega} fv \, dx \quad \forall v \in H_0^1(\Omega) \quad (I)$$

porque se toma la función test v que se anule en la frontera de Ω (al igual que la solución).

Y basta que se cumpla esta ecuación para la base del espacio vectorial $\{V_h\}$ que aproxima a $H_0^1(\Omega)$:

$$\int_{\Omega} \nabla u \nabla \eta_j \, dx + \int_{\Omega} u \eta_j \, dx = \int_{\Omega} f \eta_j \, dx. \quad (Ia)$$

$$\text{y como } u = \sum x_k \eta_k$$

$$\int_{\Omega} \nabla \eta_i \nabla \eta_j \, dx + \int_{\Omega} \eta_i \eta_j \, dx = \int_{\Omega} f \eta_i \, dx. \quad (II)$$

Los espacios $\{V_h\}$ se escogen globalmente continuos y afines en cada elemento triangular que forma parte de la descomposición del dominio.

Las integrales en (II) se aproximan como:

$$\sum_{T \in \mathcal{T}} \int_T \nabla \eta_i \nabla \eta_j \, dx + \sum_{T \in \mathcal{T}} \int_T \eta_i \eta_j \, dx = \sum_{T \in \mathcal{T}} \int_T f \eta_i \, dx \quad (III)$$

y las funciones techo se escogen de forma tal que $\eta_j(x_k, y_k) = \delta_{jk}$, $j, k = 1, \dots, N$

La matriz de stiffness o rigidez y la matriz de masa corresponden al primer término y segundo término de la izquierda, respectivamente.

En una discretización usando triángulos tales que para el triángulo T con vértices (x_1, y_1) , (x_2, y_2) y (x_3, y_3) y funciones base de V_h : η_1 , η_2 y η_3 ,

$$\text{tenemos que } \eta_j(x_k, y_k) = \det \begin{pmatrix} 1 & x & y \\ 1 & x_{j+1} & y_{j+1} \\ 1 & x_{j+2} & y_{j+2} \end{pmatrix} / \det \begin{pmatrix} 1 & x_j & y_j \\ 1 & x_{j+1} & y_{j+1} \\ 1 & x_{j+2} & y_{j+2} \end{pmatrix}$$

$$\text{Por lo que } \nabla \eta_i(x, y) = \frac{1}{2|T|} \begin{pmatrix} y_{j+1} - y_{j+2} \\ x_{j+2} - x_{j+1} \end{pmatrix}$$

Y $|T|$ es el área de T y la suma de los índices es suma módulo 3.

Y la matriz de stiffness es

$$A_{jk} = \int_T \nabla \eta_j \nabla \eta_k^T dx = \frac{|T|}{(2|T|)^2} (y_{j+1} - y_{j+2}, x_{j+2} - x_{j+1}) (y_{j+1} - y_{j+2})$$

$$= \frac{|T|}{2} G G^T$$

con $G = \begin{pmatrix} 1 & x & y \\ 1 & x_{j+1} & y_{j+1} \\ 1 & x_{j+2} & y_{j+2} \end{pmatrix}^{-1} \begin{pmatrix} 0 & 0 \\ 1 & 0 \\ 0 & 1 \end{pmatrix}$

Para la matriz de masa:

$$B_{jk} = \sum_{T \in \mathcal{T}} \int_T \eta_j \eta_k dx$$

$$y \int_T \eta_i \eta_k dx = \frac{1}{24} \det \begin{pmatrix} x_2 - x_1 & x_3 - x_1 \\ y_2 - y_1 & y_3 - y_1 \end{pmatrix} \begin{pmatrix} 2 & 1 & 1 \\ 1 & 2 & 1 \\ 1 & 1 & 2 \end{pmatrix}$$

La parte derecha se aproxima como:

$$b_i = \int_T f \eta_i dx \approx \frac{1}{6} \det \begin{pmatrix} x_2 - x_1 & x_3 - x_1 \\ y_2 - y_1 & y_3 - y_1 \end{pmatrix} f(x_S, y_S)$$

donde $(x_S, y_S) = (\frac{x_1+x_2+x_3}{3}, \frac{y_1+y_2+y_3}{3})$ es el centro de masa del triángulo T .

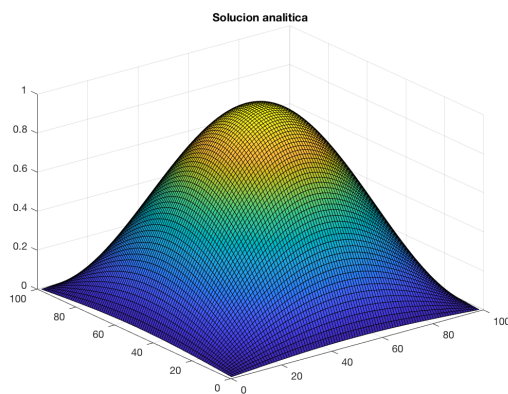
El problema se reduce a encontrar los coeficientes x de la solución expresada como combinación lineal en la base:

$$(A + B)x = b$$

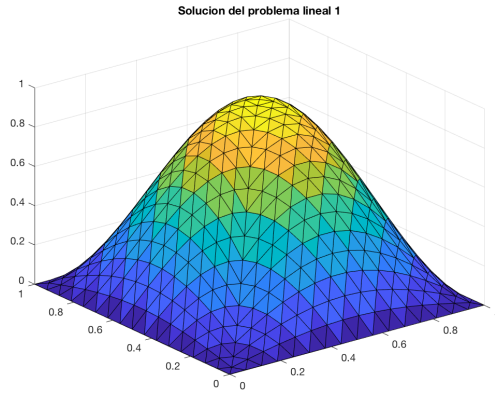
o sea $x = (A + B)^{-1}b$

y la solución es $u = \sum_{k=1}^N x_k \eta_k$

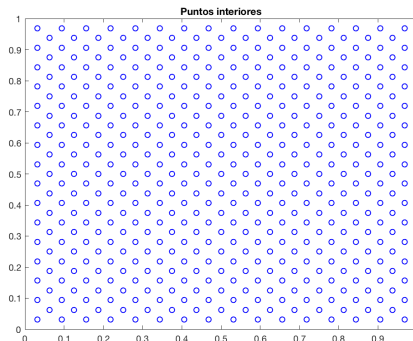
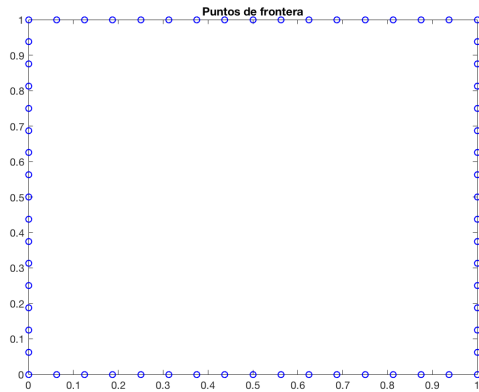
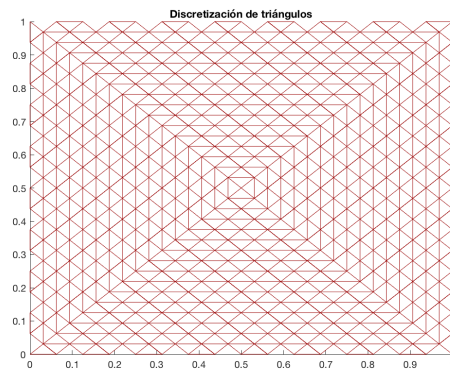
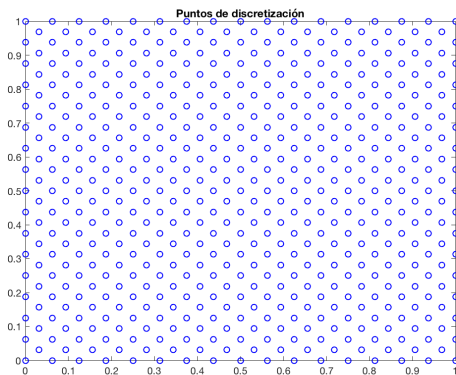
La solución analítica exacta es : $u(x, y) = \text{sen}(\pi x) \text{sen}(\pi y)$



Y la solución aproximada con la discretización FEM es



Se usó una discretización de 1024 triángulos del dominio $[0,1] \times [0,1]$.



El estimador del error en la norma L_2 :

$$\|e_h\|_{L^2}^2 = \|u - u_h\|_{L^2}^2 = a(\varphi, e_h) = a(\varphi - \varphi_h, e_h) \quad (\forall)$$

(pues $a(\varphi_h, e_h) = 0 \quad \forall \varphi_h \in V_h$)

donde $a(., .)$ es la forma bilineal y φ es la solución del problema auxiliar adjunto

$$\begin{aligned} -\Delta \varphi &= e_h \quad \text{en } \Omega \\ \varphi &= 0 \quad \text{en } \partial\Omega \end{aligned}$$

En general un estimador a priori para el problema variacional $a(u, v) = F(v) \forall v \in V$, con u_h la aproximación por FEM de grado $r > 0$, y la solución $u \in H^{p+1}(\Omega)$ con $p > 0$ dado, entonces

$$\|u - u_h\|_{L^2}^2 \leq Ch^{s+1} |u|_{H^{s+1}} \text{ con } s = \min \{r, p\}.$$

(r es el grado de los polinomios que se usan en las funciones techo y $h = \max_{T \in \mathcal{T}} h_T$

y $h_T = \max_{x, y \in T} |x - y|$ que en este caso es $h = \frac{1}{16} = 0.0625$.

Esta estimación es difícil de calcular por que la constante C no es conocida a priori.

Pero podemos usar la ecuación (V) para estimar el error como $\|u - u_h\|_{L^2}^2 = (u_h - u)^T B(u_h - u)$ y B la matriz de masa, lo que resulta en $3.4292e-07$

El número de condición de la matriz de rigidez (stiffness) A fue de 11.0415 y el de la matriz de masa B de 302.2243 y el número de condición de $A + B$ es de 286.5179

Para la norma H_1 tenemos si $u \in H^{r+1}(\Omega)$ se tiene que

$$\|u - u_h\|_{H^1(\Omega)}^2 \leq Ch^s |u|_{H^{s+1}(\Omega)} \text{ con } s = \min \{r, p\}.$$

Donde $|u|_{H^{s+1}(\Omega)}$ es la seminorma en $H^{s+1}(\Omega)$

El error en la norma H_1 : $(u_h - u)^T A(u_h - u) = 9.8417e-05$

También se puede usar $((u_h - u)^T (A + B)(u_h - u) = 9.8760e-05$

- i) Para el problema 2 tomamos la función de la parte derecha f para que la solución exacta fuera $u(x, y) = \sin(2\pi x) \cos(2\pi y)$, el dominio era el cuadrado $[0, 1] \times [0, 1]$ y el sistema:
- $$-\Delta u + u = f \text{ en } [0, 1] \times [0, 1] = \Omega$$
- $$u = u_d \text{ en } \partial\Omega$$

O sea:

$$(8\pi^2 + 1) \sin(2\pi x) \cos(2\pi y) = f.$$

En este caso la formulación débil es exactamente igual al caso anterior pues no tenemos condiciones de Neuman y al aplicar el teorema de Green nos queda exactamente lo mismo.

Para este caso donde tenemos condiciones de frontera Dirichlet no homogéneas, hacemos el cambio $z = u - u_d$ de forma tal que $z \equiv 0$ en la frontera de Ω . Así entonces $u = z + u_d$ y $\nabla u = \nabla z + \nabla u_d$, por lo que nos queda:

De

$$\int_{\Omega} \nabla u \cdot \nabla v \, dx + \int_{\Omega} uv \, dx = \int_{\Omega} fv \, dx \quad \forall v \in H_0^1(\Omega)$$

que

$$\int_{\Omega} \nabla z \nabla v \, dx + \int_{\Omega} \nabla u_d \nabla v \, dx + \int_{\Omega} z v \, dx + \int_{\Omega} u_d v \, dx = \int_{\Omega} f v \, dx \quad \forall v \in H_0^1(\Omega)$$

$$\int_{\Omega} \nabla z \nabla v \, dx + \int_{\Omega} z v \, dx = \int_{\Omega} f v \, dx - \int_{\Omega} u_d v \, dx - \int_{\Omega} \nabla u_d \nabla v \, dx \quad \forall v \in H_0^1(\Omega)$$

Que se debe cumplir en especial para la base de los espacios y que se aproxima como una suma por todos los triángulos:

$$\sum_{T \in \mathcal{T}} \int_T \nabla z \nabla \eta_j \, dx + \sum_{T \in \mathcal{T}} \int_T z \eta_j \, dx = \sum_{T \in \mathcal{T}} \int_T f \eta_j \, dx - \sum_{T \in \mathcal{T}} \int_T u_d \eta_j \, dx - \sum_{T \in \mathcal{T}} \int_T \nabla u_d \nabla v \, dx$$

Y teniendo en cuenta que $u_d = \sum_{k=1}^n u_k \eta_k$ y haciendo $u = \sum_{k=1}^N x_k \eta_k$, la parte derecha se aproxima como una suma por todos los triángulos:

$$\begin{aligned} b_i &= \sum_{T \in \mathcal{T}} \int_T f \eta_i \, dx - \sum_{k=1}^n u_k \sum_{T \in \mathcal{T}} \int_T \eta_i \eta_k \, dx - \sum_{k=1}^n u_k \sum_{T \in \mathcal{T}} \int_T \nabla \eta_i \nabla \eta_k \, dx \\ &\approx \sum_{T \in \mathcal{T}} \frac{1}{6} \det \begin{pmatrix} x_2 - x_1 & x_3 - x_1 \\ y_2 - y_1 & y_3 - y_1 \end{pmatrix} f(x_S, y_S) - \sum_{k=1}^n u_k \sum_{T \in \mathcal{T}} \frac{1}{24} \det \begin{pmatrix} x_2 - x_1 & x_3 - x_1 \\ y_2 - y_1 & y_3 - y_1 \end{pmatrix} \begin{pmatrix} 2 & 1 & 1 \\ 1 & 2 & 1 \\ 1 & 1 & 2 \end{pmatrix} - \\ &\quad \sum_{k=1}^n u_k \sum_{T \in \mathcal{T}} \int_T \nabla \eta_i \nabla \eta_k \, dx \\ &= \sum_{T \in \mathcal{T}} \frac{1}{6} \det \begin{pmatrix} x_2 - x_1 & x_3 - x_1 \\ y_2 - y_1 & y_3 - y_1 \end{pmatrix} f(x_S, y_S) - (B_{i,:}^T u) - (A_{i,:}^T u) \end{aligned}$$

donde $(x_S, y_S) = (\frac{x_1+x_2+x_3}{3}, \frac{y_1+y_2+y_3}{3})$ es el centro de masa del triángulo T .

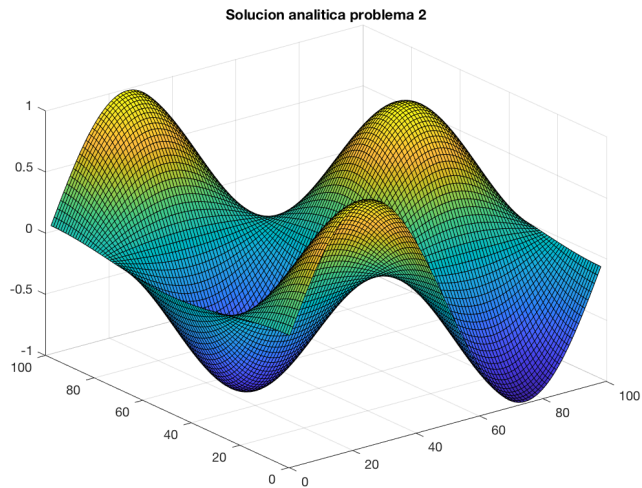
Y u es el vector de coeficientes u_k de la función u_d en la base $\{\eta_k\}$

Por tanto $b = \sum_{T \in \mathcal{T}} \frac{1}{6} \det \begin{pmatrix} x_2 - x_1 & x_3 - x_1 \\ y_2 - y_1 & y_3 - y_1 \end{pmatrix} f(x_S, y_S) - (A + b)u$

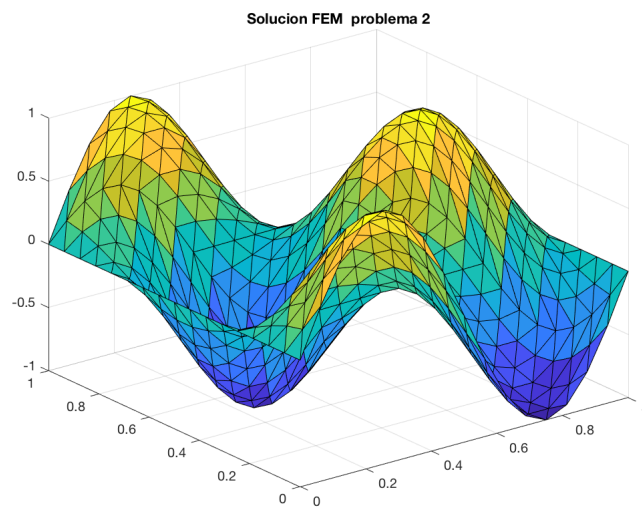
Y el sistema se reduce a $(A + B)x = b$ y $x = (A + B)^{-1}b$

Y la solución final es: $u = u_d + \sum_{k=1}^N x_k \eta_k$

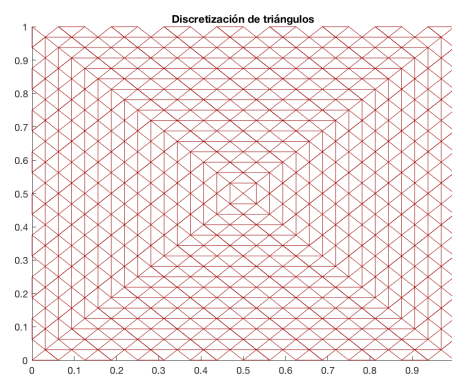
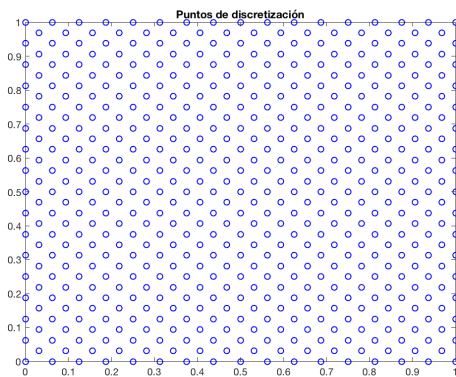
La solución analítica exacta es : $u(x, y) = \sin(2\pi x) \cos(2\pi y)$ en $[0,1] \times [0,1] = \Omega$

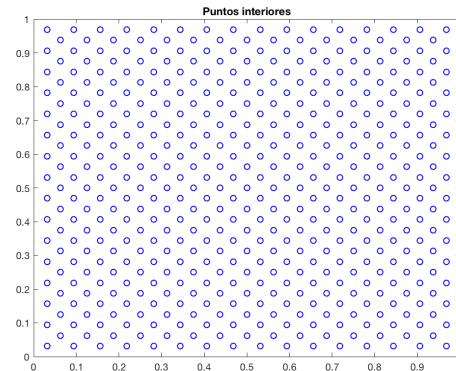
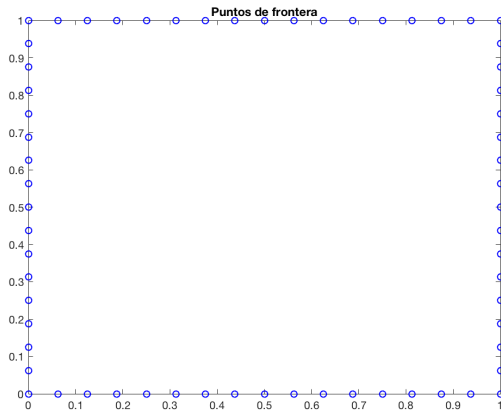


Y la solución aproximada con la discretización FEM es



Se usó una discretización de 1024 triángulos del dominio $[0,1] \times [0,1]$.





Análogamente al problema 1, el error con la norma L_2 fue: 7.6768e-06

El error en la norma H_1 : 0.0014

Y usando $((u_h - u)^T (A + B)(u_h - u) = 0.0014$

Bibliografía

- 1- Albery, Carstensen, Funken. Remarks around 50 lines of Matlab:short finite element implementation.
- 2- Fuzheng Gao, Lin Mu. 2014. ON L^2 ERROR ESTIMATE FOR WEAK GALERKIN FINITE ELEMENT METHODS FOR PARABOLIC PROBLEMS. Journal of Computational Mathematics.
- 3- Notas curso.

Apéndice

Código en Matlab:

```
load('coordenadas.mat')

load('triangulos.mat')

load('frontera.mat')

%%elementos y triangulos

figure
plot(C(:,1), C(:,2), 'bo')
title('Puntos de discretizaci n')
```

```

figure
for j= 1:size(E,1)
    hold on
    plot(C(E(j,:),1),C(E(j,:),2), 'Color',[.6 0 0])
    hold on

end
title('Discretizaci n de tri ngulos')

pointsFrontier=C(unique(F),:)
figure
plot(pointsFrontier(:,1), pointsFrontier(:,2),'bo')
title('Puntos de frontera')

FreeNodes= setdiff(1: size(C,1), unique(F))
interiorPoints=C(FreeNodes,:)
figure
plot(interiorPoints(:,1), interiorPoints(:,2),'bo')
title('Puntos interiores')
%%%%%%%%%%%%%%%%%%%%%%%%%%%%%%%%%%%%%%%%%%%%%%%%%%%%%%%%%%%%%%%%%%%%%%%%

MatrizMasa=sparse(size(C,1),size(C,1));
A = sparse(size(C,1),size(C,1));
%partes derechas
f1 = sparse(size(C,1),1);
f2 = sparse(size(C,1),1);

%matriz rigidez o stiffness
for j=1:size(E,1)
    A(E(j,:),E(j,:))=A(E(j,:),E(j,:))+stima3(C(E(j,:),:));
end

%matriz masa
for j=1:size(E,1)
    MatrizMasa(E(j,:),E(j,:))=MatrizMasa(E(j,:),E(j,:))+det([1,1,1;
C(E(j,:),:)]')*[2,1,1;1,2,1;1,1,2])/24;
end

r=det([1,1,1; C(E(1,:),:)]');
z1= inline('sin(pi*x)*sin(pi*y)*(2*pi^2+1)','x','y');
z2=inline('sin(2*pi*x)*cos(2*pi*y)*(8*pi^2+1)','x','y');
g=inline('sin(2*pi*x)*cos(2*pi*y)','x','y');
for j = 1:size(E,1)
    v=sum(C(E(j,:),:))/3;
    f1(E(j,:)) = f1(E(j,:))+r*z1(v(1),v(2))/6;
    f2(E(j,:)) = f2(E(j,:))+r*z2(v(1),v(2))/6 ;
end

A(unique(F),:)=sparse(length(A(unique(F),unique(F))),size(C,1));
A(unique(F),unique(F))=speye(length(A(unique(F),unique(F))));

f1(unique(F))=sparse(length(f1(unique(F))),1);

f2(unique(F))=sparse(length(f2(unique(F))),1);

```



```

pointsFrontier=C(unique(F),:);

u= sparse(size(C,1),1);
u(unique(F))=u_d(C(unique(F),:));
f2=f2-(A+MatrizMasa)*u;

u2(FreeNodes)=(A(FreeNodes, FreeNodes)+MatrizMasa(FreeNodes,
FreeNodes))\f2(FreeNodes);
%u2(FreeNodes)= u2(FreeNodes)+u_d(C(FreeNodes,:));
u2(unique(F))=u_d(C(unique(F),:));

u1=(A+MatrizMasa)\f1;
figure
trisurf(E,C(:,1),C(:,2),full(u1'));
title('Solucion FEM problema 1');

figure
trisurf(E,C(:,1),C(:,2),full(u2'));
title('Solucion FEM problema 2');
%problema 1
ut1=@(x,y)(sin(pi.*x).*sin(pi.*y));

%problema 2
ut2=@(x,y)(sin(2*pi.*x).*cos(2*pi.*y));
h=0.01;
[x1,y1]=meshgrid(h:h:1-h,h:h:1-h);
UF=ut1(C(:,1),C(:,2));
Ufe=ut1(x1,y1);
figure
surf(Ufe);
title('Solucion analitica problema 1');
display('Para el problema 1');
display('Con L2');
errorL2=(u1-UF)'*MatrizMasa*(u1-UF);
display(errorL2);
display('N'mero de condiçiÕn de matriz de masa');
display(condest(MatrizMasa));
display('Con H1');
errorH1=(u1-UF)'*A*(u1-UF);
display(errorH1);
error=(u1-UF)'*(A+MatrizMasa)*(u1-UF);
display('N'mero de condiçiÕn de matriz de rigidez');
display(condest(A));
display('N'mero de condiçiÕn de suma de matrices');
display(condest(MatrizMasa+A));

UG=ut2(C(:,1),C(:,2));
Uge=ut2(x1,y1);
figure
surf(Uge);
title('Solucion analitica problema 2');

display('Para el problema 2');

```

```

display('Con L2');
errorL2=(u2'-UG)'+(MatrizMasa)*(u2'-UG);
display(errorL2);
display('Número de condicion de matriz de masa');
display(condest(MatrizMasa));
display('Con H1');
errorH1=(u2'-UG)'+A*(u2'-UG);
display(errorH1);
error=(u2'-UG)'+(A+MatrizMasa)*(u2'-UG);
display(error);
display('Número de condicion de matriz de rigidez');
display(condest(A));
display('Número de condicion de suma de matrices');
display(condest(MatrizMasa+A));

```

%%%

En el archivo aparte u_d.m tenemos

```

function value = u_d ( u )

    n = size ( u, 1 );

    value(1:n) = sin (2.0 * pi * u(1:n,1) ) .* cos( 2.0 * pi * u(1:n,2) );

    return
end

```